

CuPc/C₆₀ 구조 유기 반도체에서의 음전극의 종류에 따른 광기전 효과 연구

오현식^{*}, 장경욱^{**}, 이성일^{***}, 이준웅[†], 김태완^{****}
광운대학교^{*}, 경원전문대학^{**}, 충주대학교^{***}, 홍익대학교^{****}

Photovoltaic Effects in Organic Semiconductor CuPc/C₆₀ depending on Cathodes

Hyun Seok Oh^{*}, Kyung-Wook Jang^{**}, Sung-Ill Lee^{***}, Joon-Ung Lee[†], Tae Wan Kim^{****}
Kwangwoon Univ.^{*}, Kyungwon College^{**}, Chungju National Univ.^{***}, Hongik Univ.^{****}

Abstract

Organic semiconductors have attracted considerable attention due to their interesting physical properties followed by various technological applications in the area of electronics and opto-electronics. It has been a long time since organic solar cells were expected as a low-cost high-energy conversion device. Although practical use of them has not been achieved, technological progress continues. Morphology of the materials, organic/inorganic interface, metal cathodes, molecular packing and structural properties of the donor and acceptor layers are essential for photovoltaic response. We have fabricated solar-cell devices based on copper-phthalocyanine(CuPc) as a donor(D) and fullerene(C₆₀) as an electron acceptor(A) with doped charge transport layers, and BCP as an exciton blocking layer(EBL). We have measured photovoltaic characteristics of the solar-cell devices using the xenon lamp as a light source.

Key Words : Photovoltaic Effect, Organic Semiconductor, Fill Factor, Power Conversion Efficiency

1. 서 론

Becquerel에 의해 발견된 광기전 효과는 태양의 복사에너지를 전기적 에너지로 변환할 수 있는 방법이다[1]. 최근 몇 년 동안, 박막 유기 광전 소자의 전력변환 효율은 꾸준하면서도 빠르게 증가해 왔는데[2], 이러한 효율의 개선은 donor/acceptor 이종결합, exciton-blocking layer(EBL), 그리고 고볼순물첨가 결정물질의 적층 구조 같은 개념을 도입함으로써 이루어질 수 있었다. 최근에, 단결정 실리콘 솔라 셀의 solar power conversion efficiency가 24% 정도에 이르고 있다[3]. 그렇지만, 이러한 무기소자는 제작하는 과정에서 고온상태와 많은 인쇄단계가 필요하여 제작이 어려운 단점이 있다[4,5]. 그러나 유기 광기전 소자로 이용되는 대부분의 작은 분자들은 상대적으로 낮은 온도에서 증착을 이용하여 필요한 박막 두께를 형성

하면 된다. 이러한 광기전 소자들은 지난 십년간 집중적으로 연구되어져 왔는데, C.W.Tang[†]이 1986년에 donor acceptor 쌍을 가진 ITO/CuPc/PV/Al의 구조로 1%의 전력변환효율과 30%의 외부양자효율을[2], Schon 등이 ZnO/Pentacene+Br/ITO(or PT) 구조로 4.5%의 전력변환효율을[6], S.R.Forrest 등이 ITO/PEDOT/CuPc/C₆₀/BCP/Al 구조에서 3.6%의 전력변환효율을 얻었다[7].

현재 유기 PV cell에 대한 연구들은 값싸고 제조에 용이한 유기 PV cell의 변환효율을 높여 상용화 하는데 목적이 있다[10]. 적층된 유기물의 종류와 두께 등이 광기전 효과에 큰 영향을 미친다는 것은 여러 연구들을 통해 알려져 있으며 [6,7,11], 전극에 대한 영향은 C.W.Tang 등이 유기 발광소자에서 음전극으로 MgAg과 LiF/Al 등을 사용하여 효율을 향상 시킨 바가 있다[8,9].

본 논문에서는, 음극 전극을 일함수가 낮은 전극

으로 바꾸었을 때 광기전 효과에 미치는 영향을 검토하기 위해서 음극으로서 Al과 일함수가 낮은 LiAl을 사용하였다. 사용된 PV cell의 구조는 ITO/CuPc/C₆₀/BCP/Al과 ITO/CuPc/C₆₀/BCP/LiAl을 사용하였다.

2. 실험

광기전 효과와 음전극 간의 상관관계를 보이기 위하여 복층 구조를 가진 유기 PV(photovoltaic) cell인 음전극(cathode)으로 Al을 사용한 ITO/CuPc/C₆₀/BCP/Al과 음전극으로 LiAl을 사용한 ITO/CuPc/C₆₀/BCP/LiAl을 제작하였다. 양전극(anode)으로 사용한 인듐-주석-산화물(indium-tin-oxide, ITO) 기판은 삼성코닝사의 제품을 사용하였다. ITO의 표면저항은 $15\Omega/\square$ 이고 두께는 170 nm이다. ITO는 염산과 질산을 3:1의 부피비로 혼합한 액체의 증기를 이용하여 5 mm의 넓이로 식각하였다. 유기물 층은 5×10^{-6} torr의 베이스 진공 속에서 각각의 두께를 CuPc 20 nm, C₆₀ 40 nm, BCP 12 nm로 열 증착 하였고, 음전극(cathode)은 Al과 LiAl 둘 다 3 mm의 넓이로 100 nm의 두께를 가지도록 5×10^{-6} torr의 베이스 진공 속에서 열 증착하였다.

유기 PV cell의 전류밀도-전압 특성은 Keithley 236 source-measure unit과 Keithley 617 electrometer를 사용하여 측정하였다. 광원으로 ORIEL사의 Xenon 램프를 사용하였고, ORIEL사의 68820 universal power supply를 전원으로 사용하였다. 빛의 세기의 측정은 International Light Inc.의 radiometer/photometer를 사용하였다. 모든 측정은 상온에서 수행 되었다.

그림 1은 본 실험에서 사용한 물질들의 에너지준위와 광전소자의 개략도를 보여주고 있다. 소자의 활성면적은 3mm × 5mm의 면적을 가지도록 제작되었다.

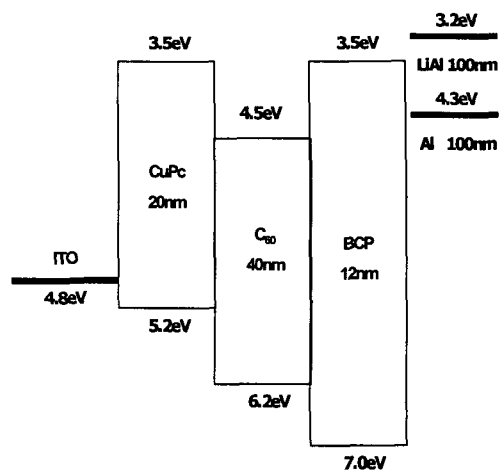
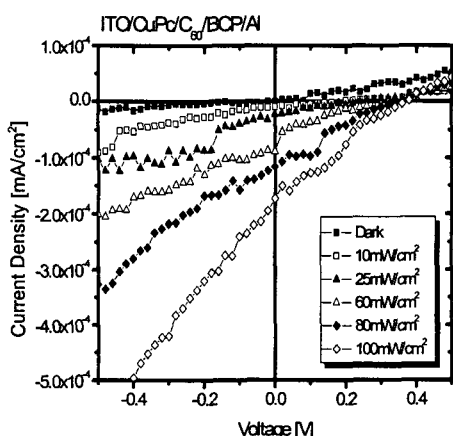


그림 1. PV 셀의 에너지 준위 개략도.

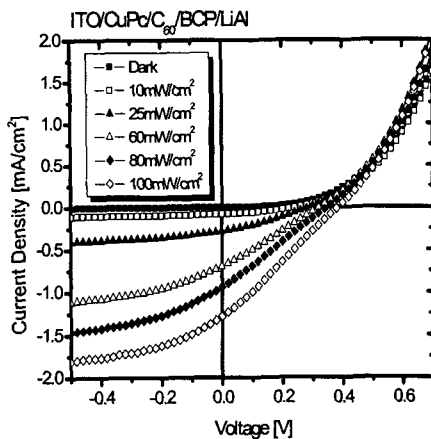
Fig. 1. Schematic the energy level of the PV cell.

3. 결과 및 고찰

그림 2는 실험에 사용된 ITO/CuPc(20nm)/C₆₀(40nm)/BCP(12nm)/Al(100nm)과 ITO/CuPc(20nm)/C₆₀(40nm)/BCP(12nm)/LiAl(100nm) 두 가지 소자의 활성면적에 조사되는 빛의 세기를 변화시켜 가면서 전류밀도-전압 특성을 측정한 그래프이다. ITO/CuPc/C₆₀/BCP/Al 소자 보다 ITO/CuPc/C₆₀/BCP/LiAl 소자에서 전류밀도가 더 크며, 전압-전류밀도의 변화율도 더 크다는 것을 알 수 있다.



(a) ITO/CuPc/C₆₀/BCP/Al



(b) ITO/CuPc/C₆₀/BCP/LiAl

그림 2. 소자들의 전류밀도-전압특성.

Fig. 2. Current density-voltage characteristics of the devices.

전류밀도-전압 특성 곡선의 x 절편과 y 절편으로부터 두 가지의 중요한 요소를 얻을 수 있는데, 하나는 open-circuit voltage V_{oc} (x 절편)이고 다른 하나는 short-circuit current density J_{sc} (y 절편)이다.

그림 3은 두 PV cell들의 빛의 세기에 따른 open-circuit voltage를 보여주고 있다. 그림에서 는 빛의 세기가 증가할수록 V_{oc} 가 증가하는 것을 알 수 있으며 증가율은 Al을 음전극으로 사용한 것보다 LiAl을 사용한 것이 더 높음을 보여주고 있다. 그림 4는 두 PV cell의 단락전류밀도를 보이고 있다. J_{sc} 는 음전극으로서 LiAl을 사용한 것 이 Al을 사용한 것보다 매우 높으며, 거의 같은 증가율을 보이고 있다.

Fill Factor(FF) 와 Power Conversion Efficiency (PE)는 그림 3과 그림 4에서 아래의 FF 식과 PE (η) 식을 이용하여 구한다.

$$FF = \frac{P_m}{V_{oc} \times J_{sc}} = \frac{V_m \times J_m}{V_{oc} \times J_{sc}} \quad (1)$$

$$\eta = \frac{P_m}{P_{in}} = \frac{V_{oc} \times J_{sc} \times FF}{I_0} \quad (2)$$

여기서, I_0 는 입사 solar power이다.

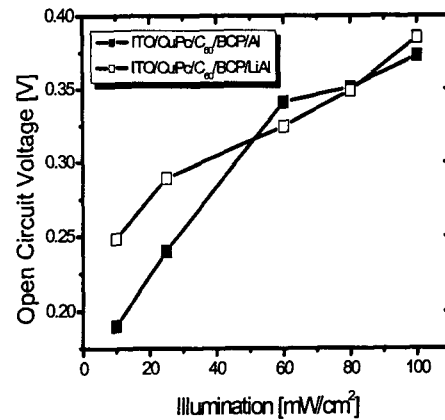


그림 3. 두 PV 셀의 개방전압-빛의 세기 특성.

Fig. 3. Open circuit voltage-illumination intensity characteristics of the two PV cells.

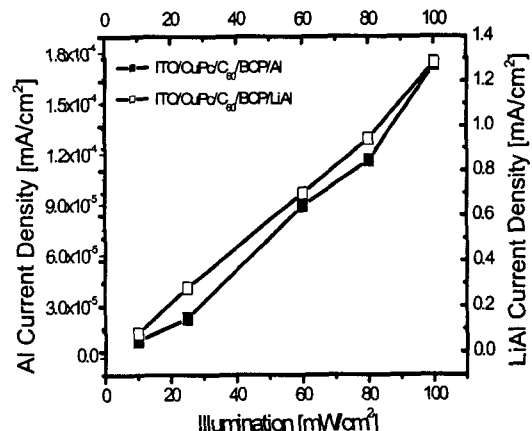


그림 4. PV 셀의 단락전류밀도-빛의 세기 특성.

Fig. 4. Short-circuit current density-illumination intensity characteristics of the two PV cells.

그림 5는 식 (1)을 이용하여 구한 두 PV cell 들의 fill factor(FF)를 보여주고 있다. 음전극으로서 LiAl을 사용한 소자가 Al을 사용한 소자보다 큰 fill factor값을 가지고 있으며, 빛의 세기가 100 mW/cm² 부근에서는 약간 작다는 것을 알 수 있다.

을 얻기 위해서는 음전극의 선택도 중요하다.

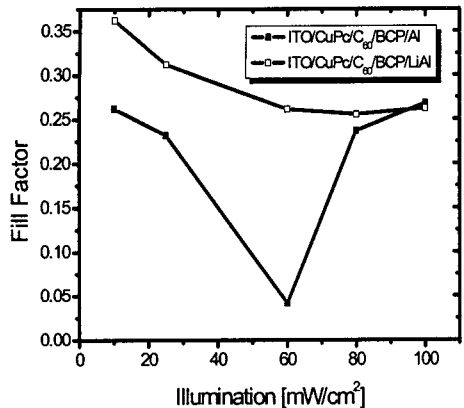


그림 5. PV 셀의 빛의 세기에 따른 Fill Factor.

Fig. 5. Fill factor of the two PV cells as a function of illumination intensity.

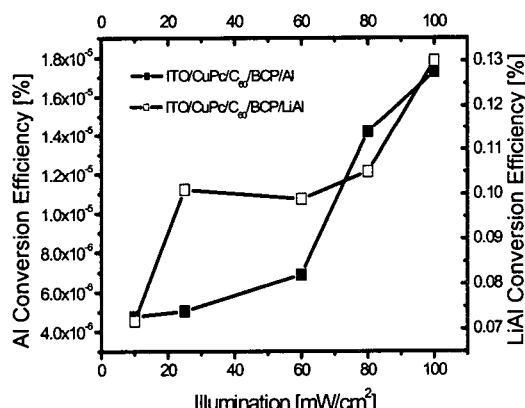


그림 6. PV 셀의 빛의 세기에 따른 전력변환효율.

Fig. 6. Power conversion efficiency of the two PV cells as a function of illumination intensity.

그림 6은 식 (2)를 이용하여 PV cell들의 power conversion efficiency (PE)를 보이고 있다. 전력변환효율(PE)은 빛의 세기의 증가에 따라 같이 증가하고 있다. 음전극으로서 LiAl을 사용한 ITO/CuPc/C₆₀/BCP/LiAl PV cell이 Al을 사용한 ITO/CuPc/C₆₀/BCP/Al PV cell 보다 효율이 일만 배 정도 더 높다는 것을 알 수 있다. 그러므로 높은 PE 값

4. 결 론

우리는 지금까지 유기 PV cell에서 음전극의 종류에 따른 photovoltaic effect를 살펴보았다. 빛의 세기가 증가함에 따라서, short-circuit current density(J_{SC})와 open-circuit voltage(V_{OC})가 약간 증가함을 보았고, 음전극으로서 Al을 사용한 것 보다 LiAl을 사용하는 것이 J_{SC} 와 power conversion efficiency(PE)를 약 일만 배 정도 향상시킨다는 것을 알 수 있다. 따라서 PV cell에 사용되는 buffer layer의 구조뿐만 아니라 음전극에 사용되는 물질의 종류나 두께 등에 따라서도 광기전 효과에 큰 영향을 미친다는 것을 알 수 있으므로 다양한 음전극의 영향에 대한 더 많은 연구가 필요하다 하겠다

참고 문헌

- [1] A. E. Becquerel, Comt. Rend. Acad. Sci., Vol. 9, p. 561, 1839.
- [2] C. W. Tang, Appl. Phys. Lett., Vol. 48, No. 2, p. 183, 1986.
- [3] P. Peumans and S. R. Forrest, Appl. Phys. Lett., Vol. 79, p. 126, 2001.
- [4] S. W. Park, J. Kim, Soo Hong Lee, J. Korean Phys. Soc., Vol. 43, p. 423, 2003.
- [5] Soo-Hong Lee, Transactions on Electrical and Electronic Materials, Vol. 4, No. 3, p. 29, 2003.
- [6] Schon et al., Appl. Phys. Vol. 77, No. 16, p. 2473, 2000.
- [7] S.R. Forrest et al., Appl. Phys. Vol. 79, No. 1, p. 126, 2001.
- [8] C.W.Tang, S.A.Vanslyke, Appl. Phys. Lett. Vol. 51, p.913, 1987.
- [9] L.S.Hung, C.W.Tang, M.G.Mason, Appl. Phys. Lett., Vol. 70, p. 152, 1997.
- [10] 황지호, KISTEP, NEWSLETTER, Vol. 31, “태양전지기술개발동향”, 2004.
- [11] Y.Hirose, A.Kahn, V.Bulovic, S.R.Forrest et., The American Physical Society, Physical Review B, Vol. 54, No. 19, p. 13748, 1996